

ACTIVITIES AT IMID 2018-2020

Filip Jeniš, Ing.

Institute of Machine and Industrial Design
Faculty of Mechanical Engineering
Brno University of Technology

Brno, 20.5.2020

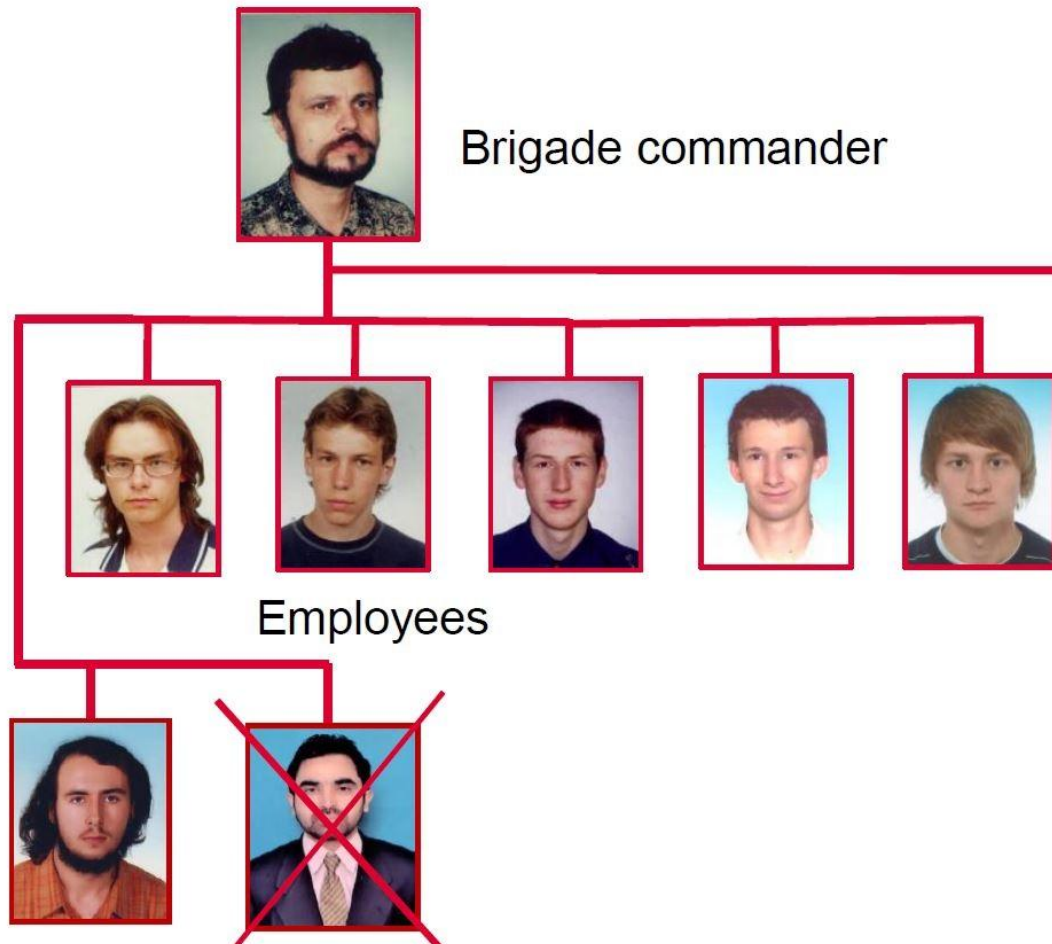


CONTENT

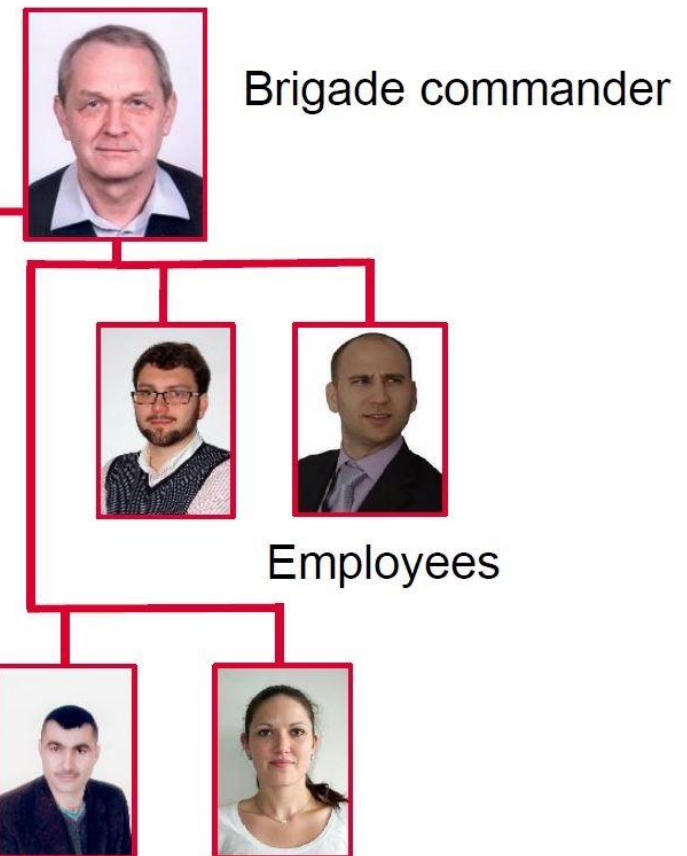
- PhD thesis
- Research activities
- Other activities
- Publication and products
- Teaching

DEPARTMENT OF CONDITION MONITORING

Vibro-acoustics



Non-destructive testing



PHD THESIS

Semi-actively damped chassis for high-speed train

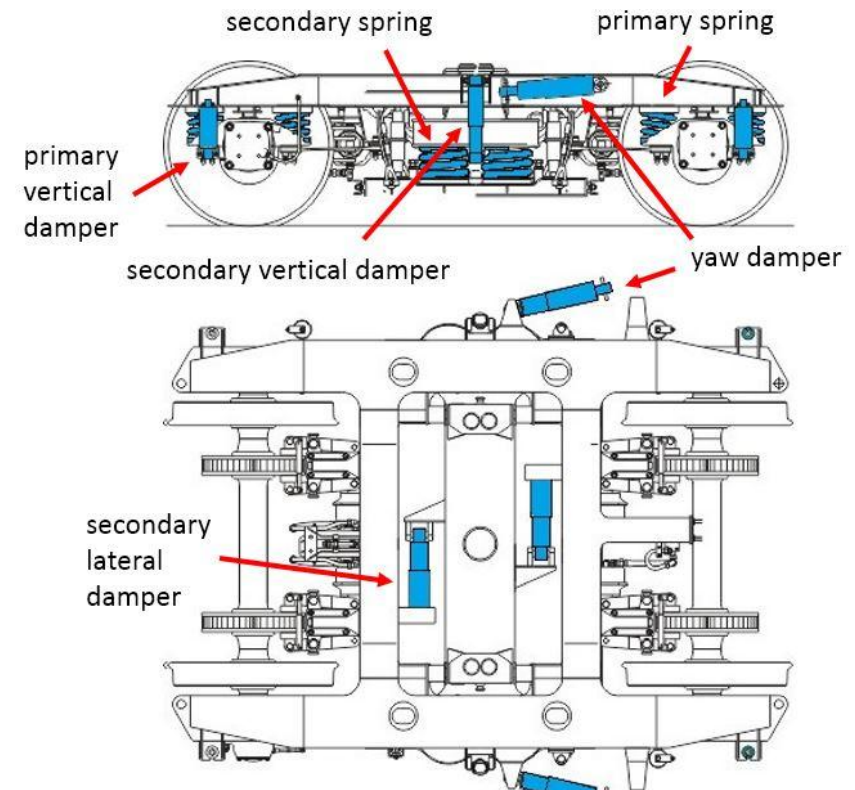
doc. Ing. Ivan Mazůrek CSc.
Ing. Zbyněk Strecker PhD.



locomotive Vektron

zdopravy.cz

ACTIVITIES AT IMID 2018-2020



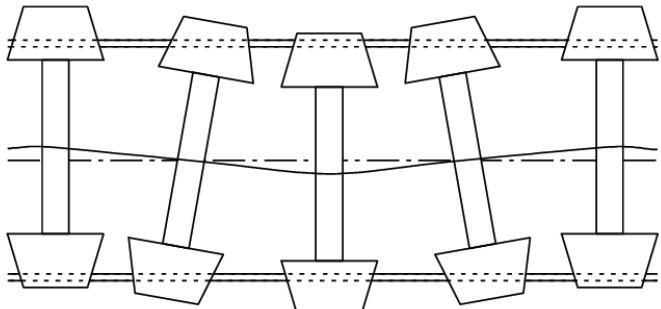
Train chassis

st-os.cz

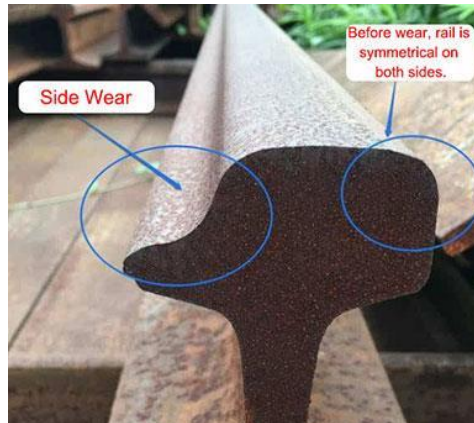
PHD THESIS

Motivation

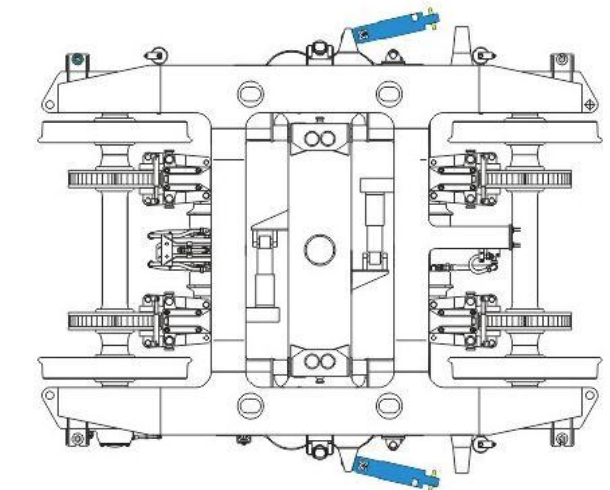
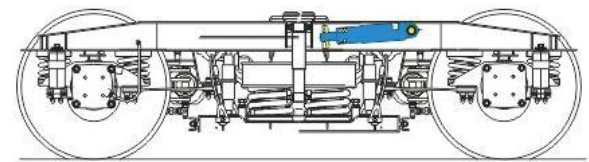
- contradiction on yaw damper requirements for different driving modes
 - high speed on straight track (high) ~~x~~ arch passage (low)
 - actuators ~~x~~ semi-active dampers (unpublished yet)
- increase critical speed and reduce wear



Hunting motion



Rail wear rail-fastener.com



Train chassis

st-os.cz

PHD THESIS

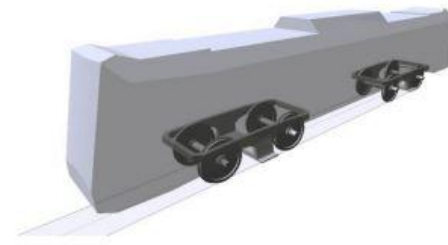
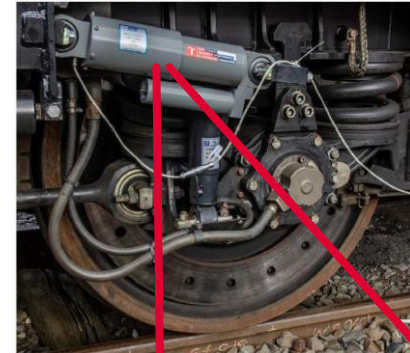
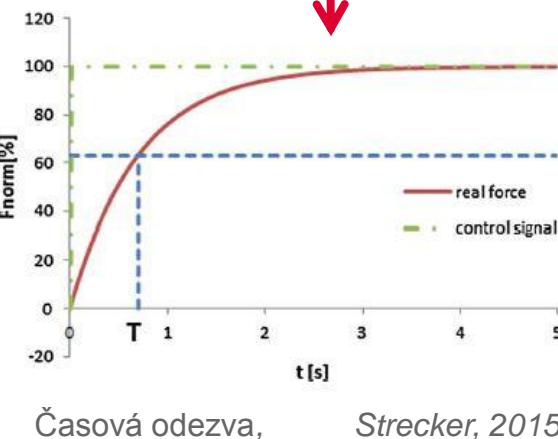
Methods

- rail tracking algorithms
(groundhook)
- F-v char. and time response
of real damper
- model SJKV – DFJP UP
- RCP – dSpace + Inova

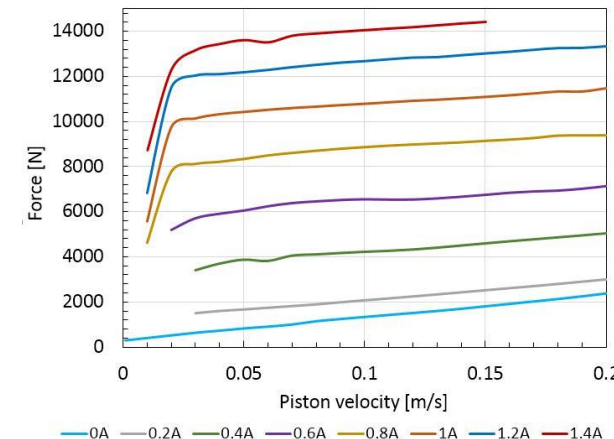
$$b = \begin{cases} b_{max}, & \dot{\varphi}_z < 0 \\ b_{min}, & \dot{\varphi}_z \geq 0 \end{cases}$$

$$b = \begin{cases} b_{max}, & \dot{\varphi}_z \cdot (\varphi_z - \varphi_{trat}) < 0 \\ b_{min}, & \dot{\varphi}_z \cdot (\varphi_z - \varphi_{trat}) \geq 0 \end{cases}$$

$$b = \begin{cases} b_{max}, & \dot{\varphi}_z \cdot \ddot{\varphi}_z < 0 \\ b_{min}, & \dot{\varphi}_z \cdot \ddot{\varphi}_z \geq 0 \end{cases}$$



SJKV Zelenka, 2014



INOVA pulzator
www.ustavkonstruovani.cz

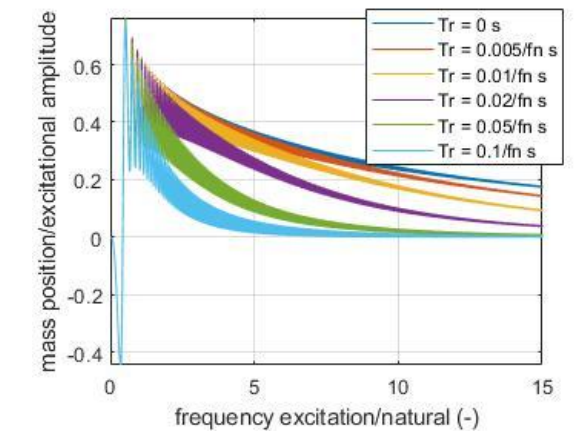
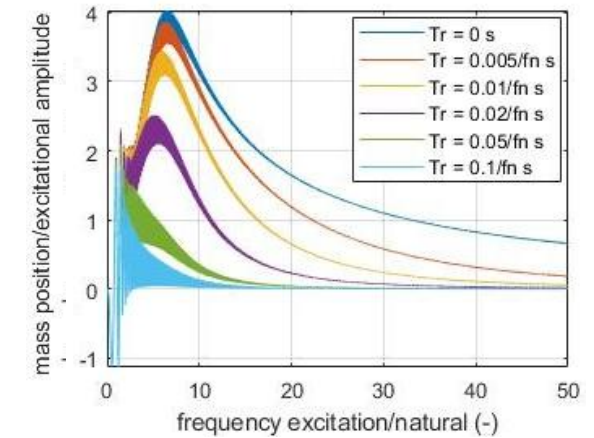
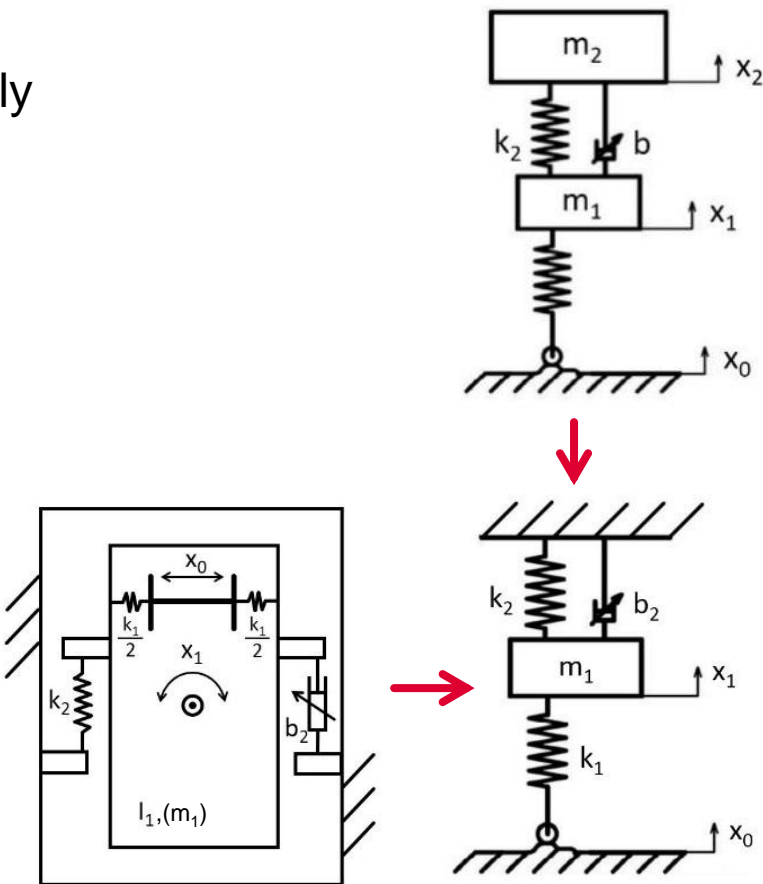
PHD THESIS

Current results

- sprung mass positioning by semi-actively controled damper, arch passage
- simple 2DOF and 1DOF model
- necessary structural modification to achieve better results

$$F_b = \begin{cases} b_{max}(\dot{x}_1 - \dot{x}_2), & (\dot{x}_1 - \dot{x}_2) \geq 0 \\ b_{min}(\dot{x}_1 - \dot{x}_2), & (\dot{x}_1 - \dot{x}_2) < 0 \end{cases}$$

$$F_b = \begin{cases} b_{2max}(\dot{x}_1), & \dot{x}_1 < 0 \\ b_{2min}(\dot{x}_1), & \dot{x}_1 \geq 0 \end{cases}$$



PHD THESIS

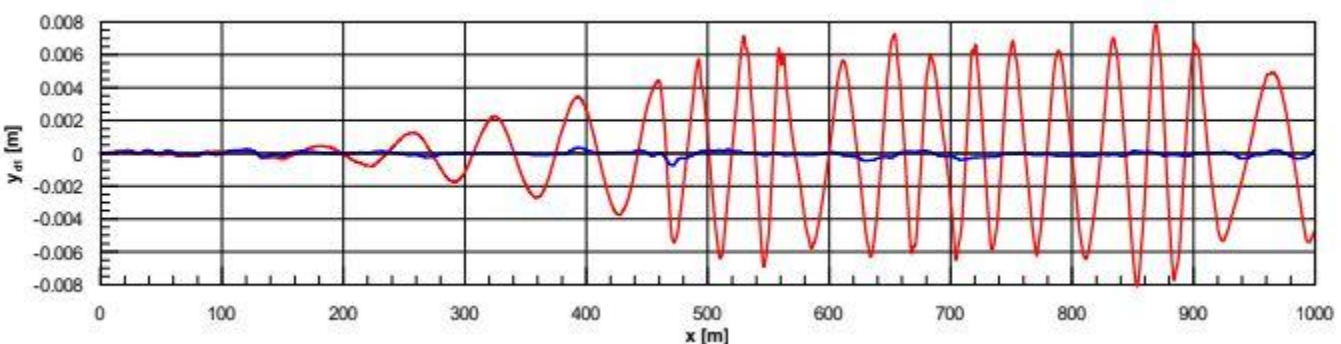
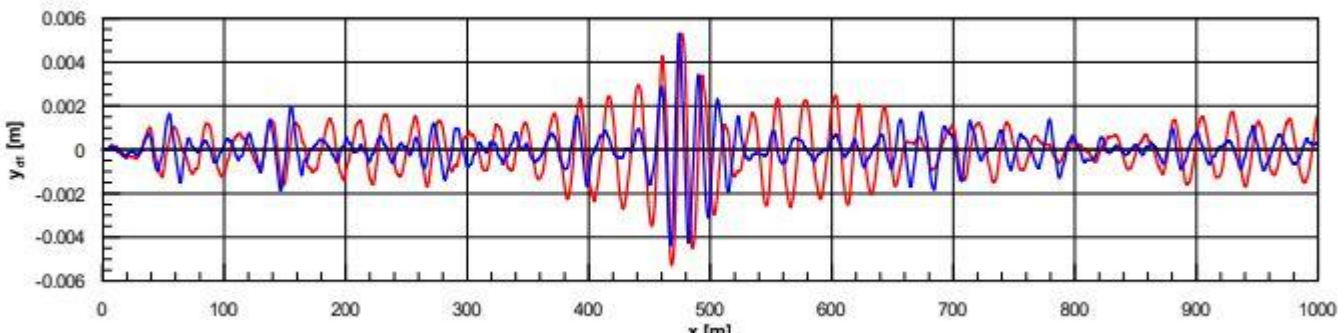
Current results

- straight track, 220 km/h
- SJKV
- wheelset lateral displacement
- equivalent conicity 0,4 and 0,01

$$b = \begin{cases} b_{max}, & \dot{\varphi}_z \cdot (\varphi_z - \varphi_{trat}) < 0 \\ b_{min}, & \dot{\varphi}_z \cdot (\varphi_z - \varphi_{trat}) \geq 0 \end{cases}$$



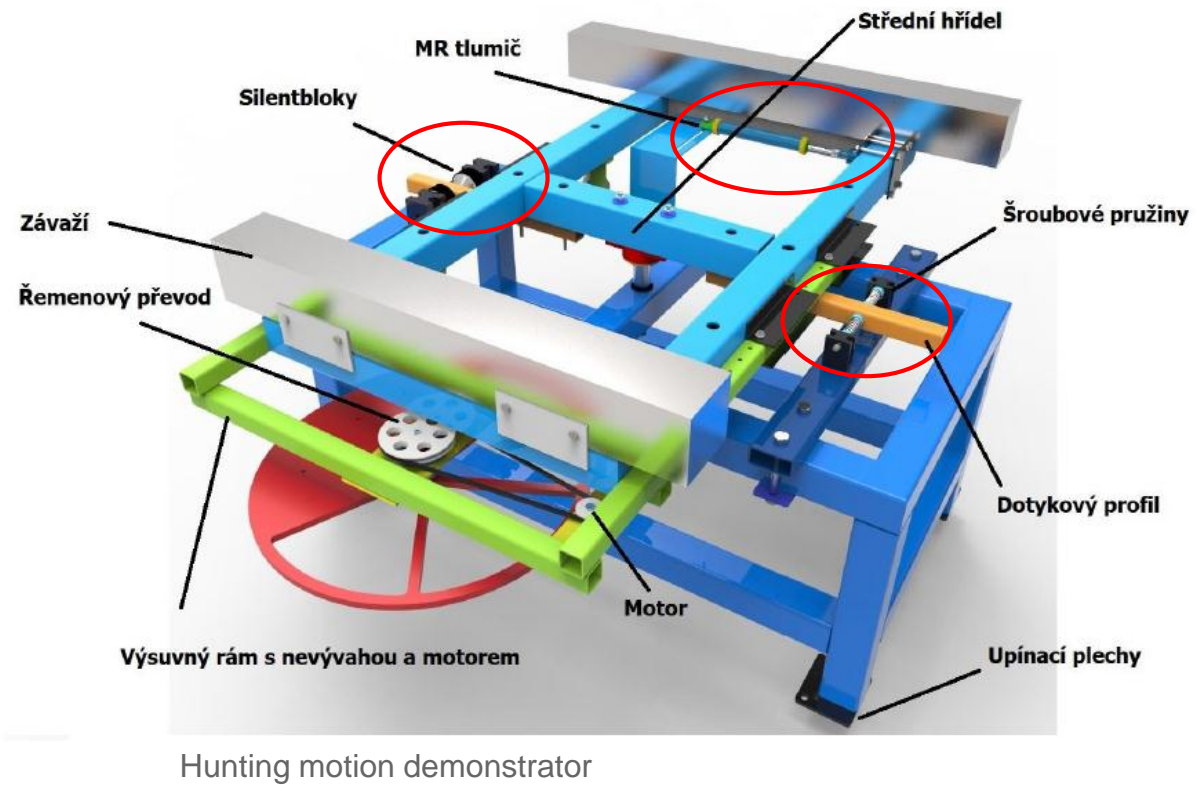
$$b = \begin{cases} b_{max}, & \dot{\varphi}_z \cdot \ddot{\varphi}_z < 0 \\ b_{min}, & \dot{\varphi}_z \cdot \ddot{\varphi}_z \geq 0 \end{cases}$$



PHD THESIS

Next steps

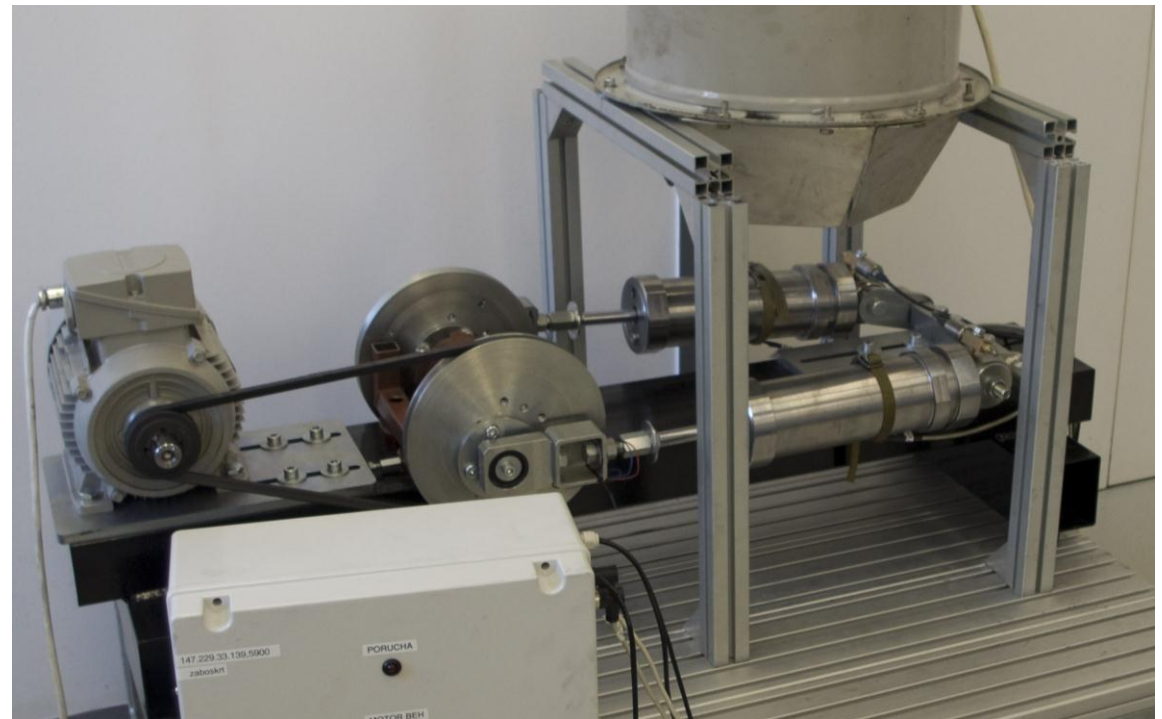
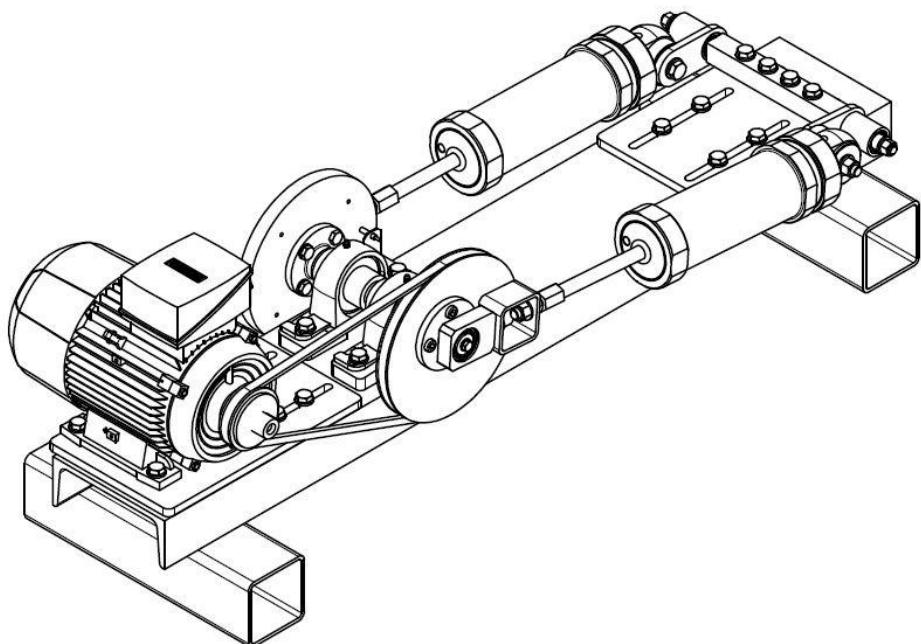
- force excitation – 1DOF arch passage
- arch passage – SJKV
- decrease time response
- various F-v characteristics
- $b = \begin{cases} b_{max}, & \dot{\phi}_z \cdot \ddot{\phi}_z < 0 \\ b_{min}, & \dot{\phi}_z \cdot \ddot{\phi}_z \geq 0 \end{cases}$
- RCP verification
- demonstration of the proposed solution on a railway bogie physical scale model



RESEARCH ACTIVITIES

MPO – Developement of Magnetorheological Damping System for Railway Vehicles

- seal tester

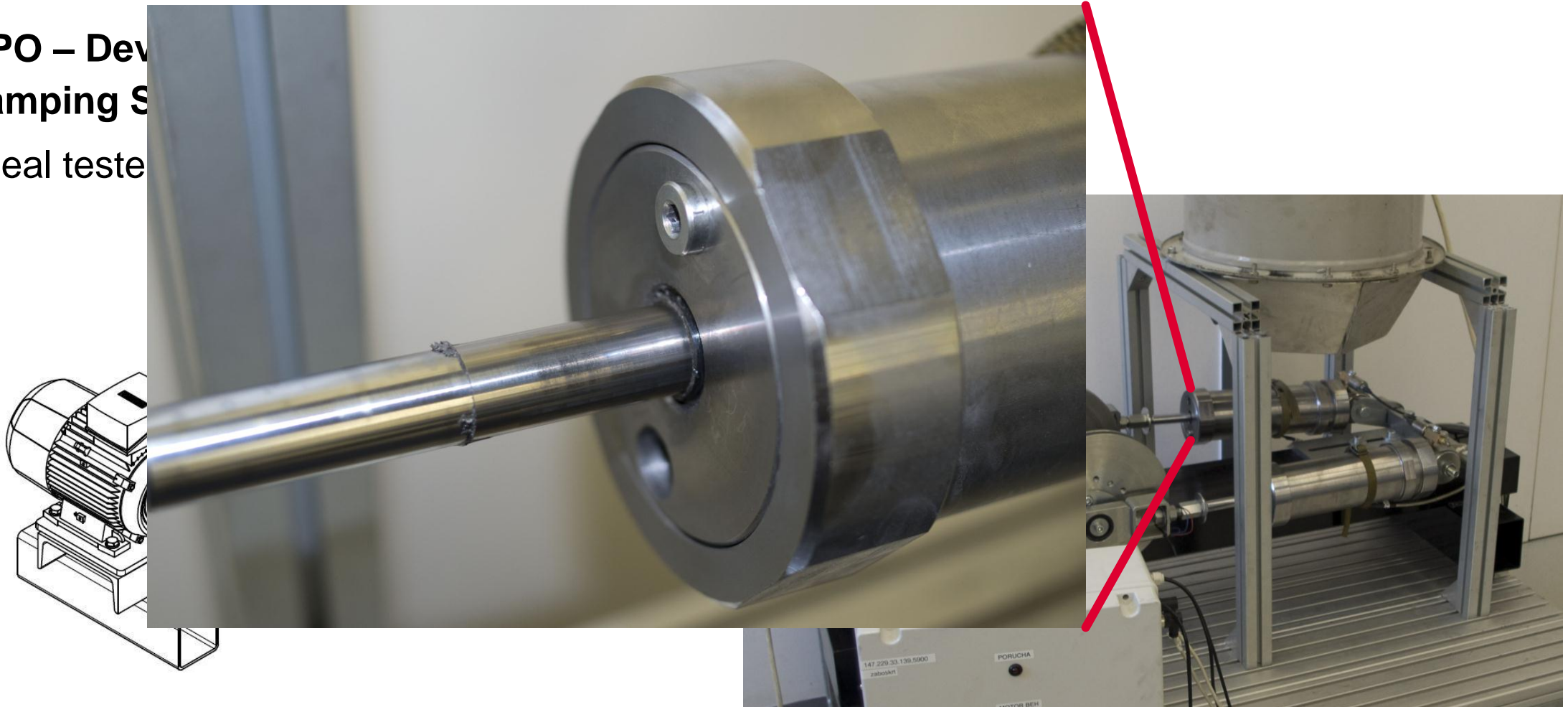


RESEARCH ACTIVITIES

MPO – Dev

Damping S

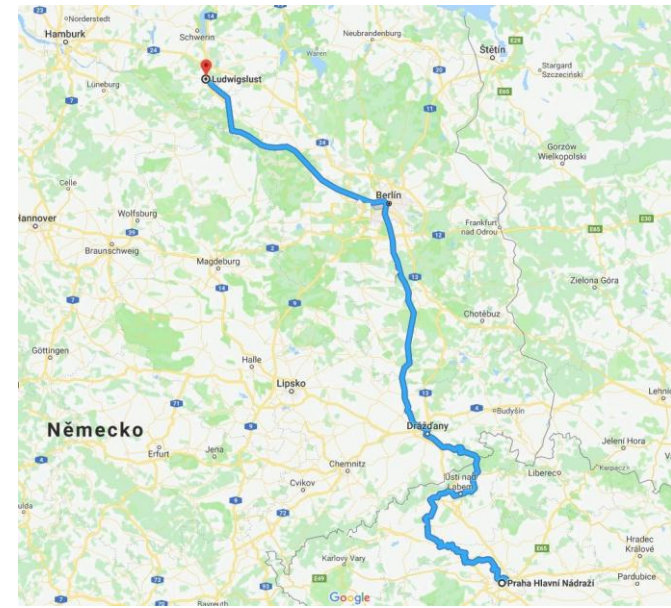
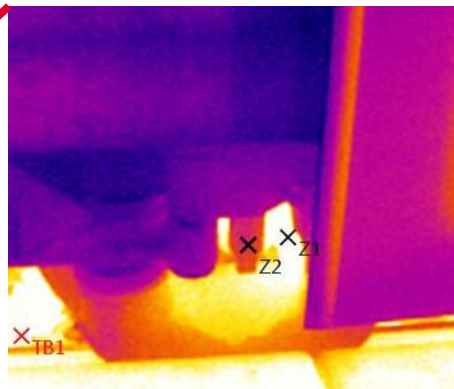
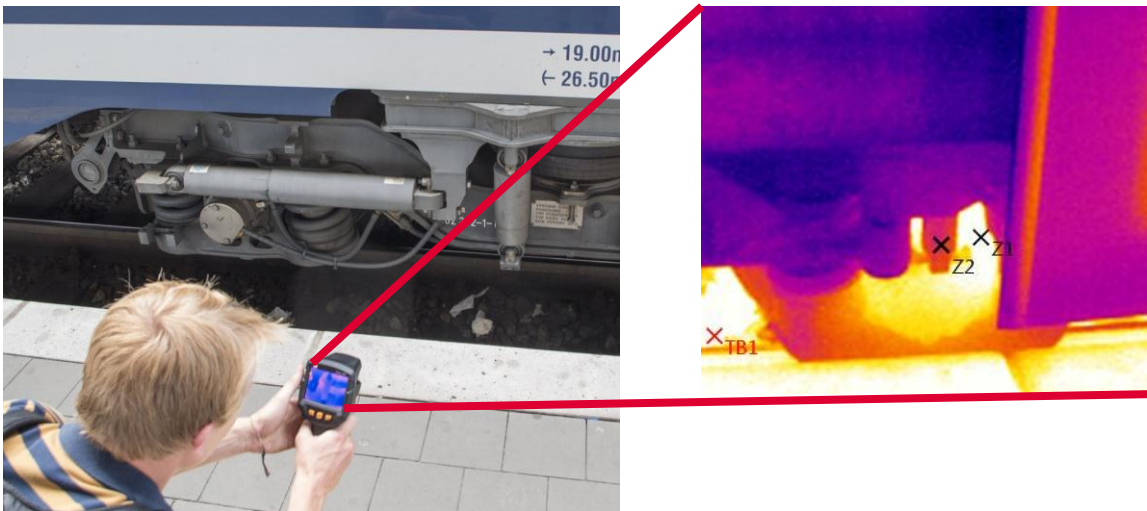
- seal teste



RESEARCH ACTIVITIES

MPO – Developement of Magnetorheological Damping System for Railway Vehicles

- measurement of operating conditions on a high-speed rail – damper temperature

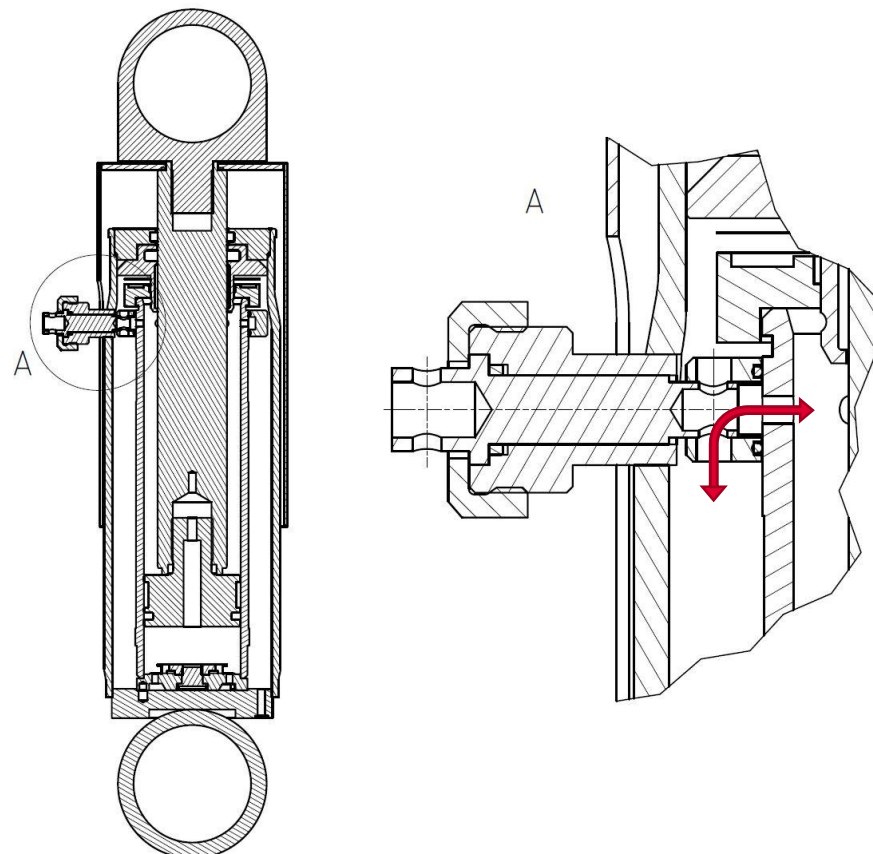


čas měření	místo	strana	vůz	P80 L (°C)	P8 (°C)	P80 P (°C)	okolí (°C)
8:40	Praha	pravá	1	23	24	26	23
9:50	Ústí nad Labem	pravá	1	30	28		26
10:20	Děčín	levá	1	32	33		26
11:20	Bad Schandau	pravá	2	27	26	26	23
11:55	Dresden	levá	2	26	24	27	23
13:35	Berlin Süd.	levá	2	30	26	30	20
13:40	Berlin HBF	levá	2	30	28	32	21
14:30	Wittenberge	levá	2	35	36	37	30
14:50	Ludwigslust	pravá	2		30		22
15:40	Ludwigslust	pravá	3		30		22
16:55	Berlin	levá	3	31	28	32	22

RESEARCH ACTIVITIES

Oil adaptive damper

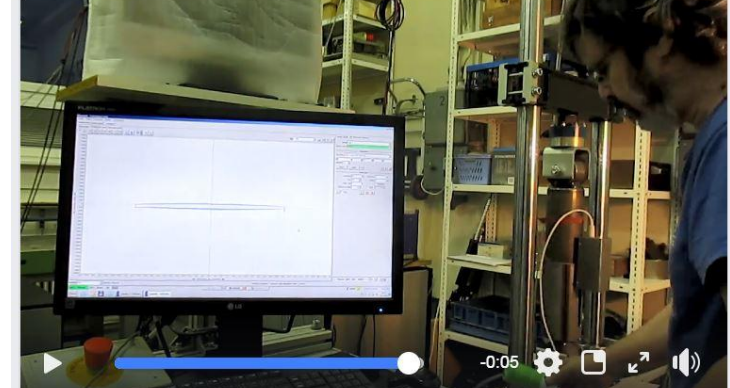
- without MR fluid
- based on R110 (STOS)
- bypass between inner and outer space



Schema of oil adaptive damper

 **Ústav konstruování**
28. března · 0

Naši kolegové na Odboru technické diagnostiky se velmi aktivně zabývají návrhem a řízením semi-aktivních tlumičů. Jedná se o tlumiče, u kterých lze dle potřeby měnit tlumící sílu. Pomocí pokročilého řízení těchto tlumičů je tak možné zlepšit komfort posádky ve vozidle nebo přitlak kol na vozovku. V následujícím videu doc. Mazurek demonstruje funkci nového adaptivního olejového tlumiče pro železniční podvozek. Princip funkce spočívá v otevření kanálu s výrazně menším hydraulickým odporem pomocí elektrického ventilu, čímž výrazně klesne tlumící síla. Návrh tohoto tlumiče byl řešen v rámci projektové výuky na Ústavu konstruování a podíleli se na něm čtyři studenti 5. ročníku. #pojdsnamikonstruovat



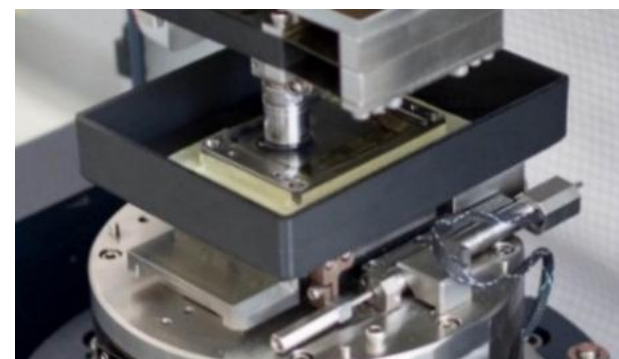
Like Comment Share -0:05 Super Okomentovat Sdílet

Adaptive damper on ÚK facebook

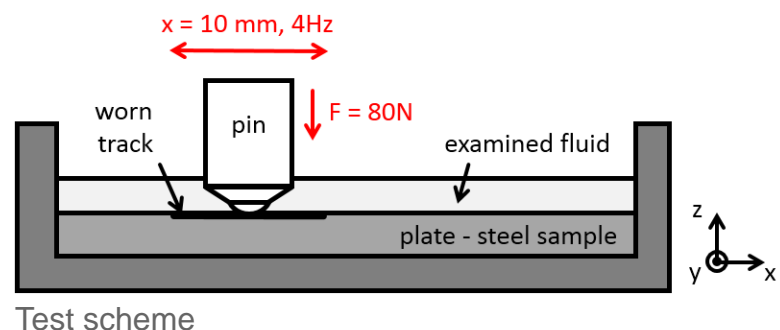
RESEARCH ACTIVITIES

GAČR – Studies on Magnetorheological Fluid with High Sedimentation Stability

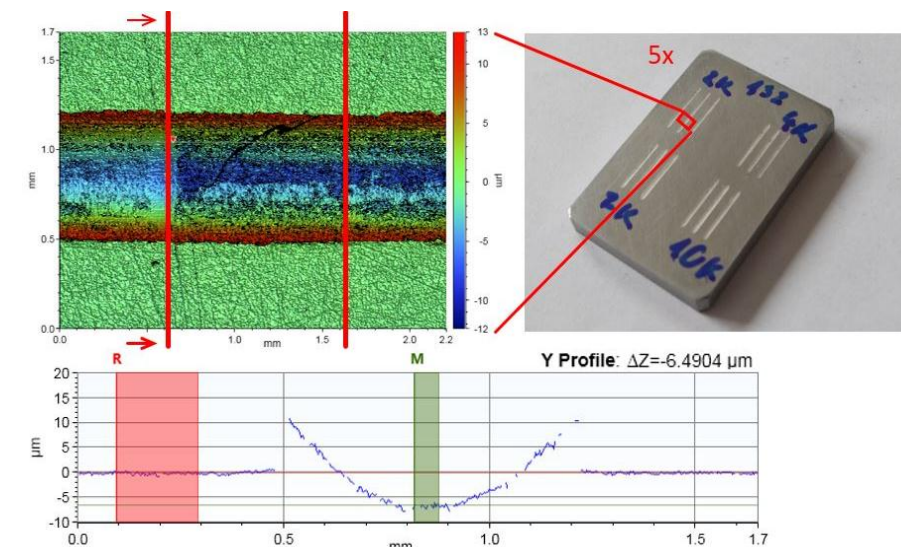
- wear
- commercial MR fluids comparison
- small differences between MR fluids
- twice as large as hydraulic oil



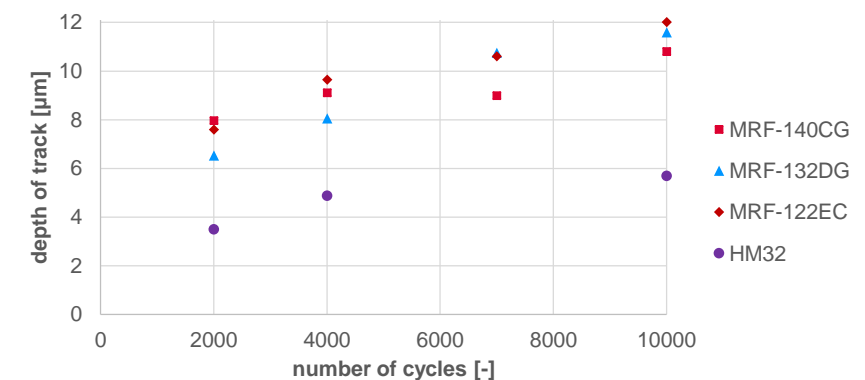
Reciprocating test module



Test scheme



Method of evaluation

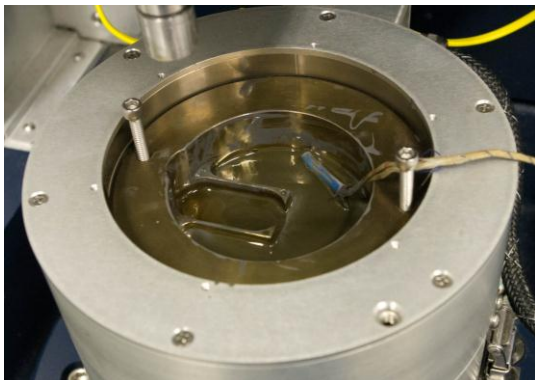


Comparison of all studied fluid

RESEARCH ACTIVITIES

GAČR – Studies on Magnetorheological Fluid with High Sedimentation Stability

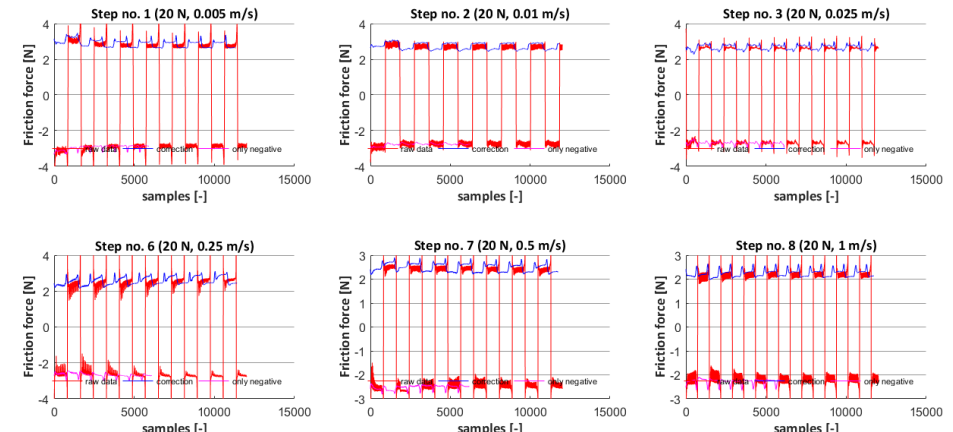
- striebeck curve
- 1-20 N
- 5-4000 mm/s
- high friction of MRF in fluid mode



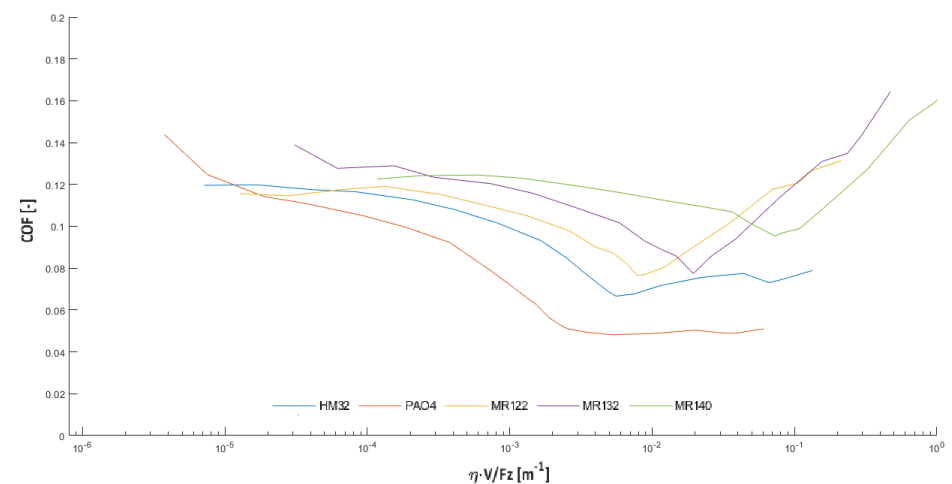
Pin on disk test module



Disk



Detail of selected steps after evaluation



Striebeck curve comparison of all studied fluid

RESEARCH ACTIVITIES

TAČR Epsilon – Electronic car suspension tester

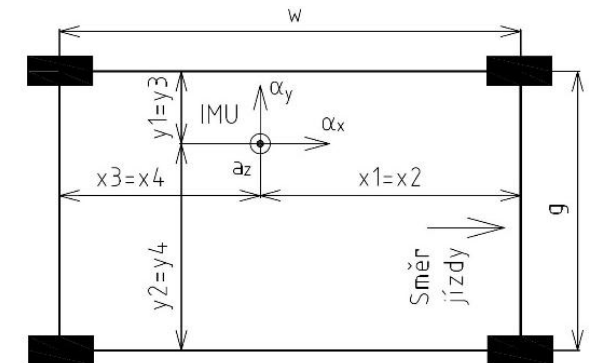
- a new method for on-board suspension testing
- vehicle crosses obstacle, $l = 0,43 \text{ m}$; $H = 0,08 \text{ m}$
- IMU
- relative attenuation for each suspension
- standardized differentiation method



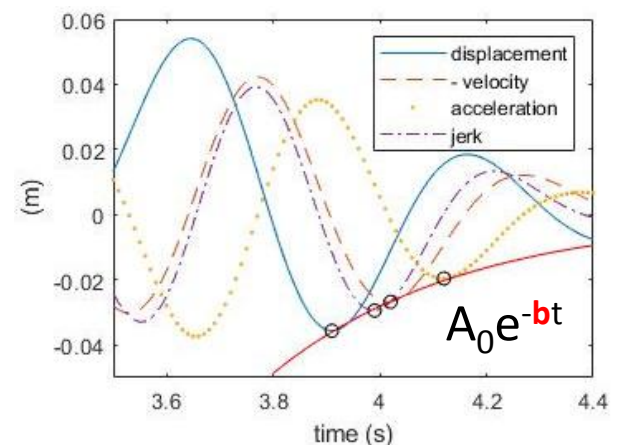
Car and obstacle during the on board test



IMU location in the vehicle



The IMU location schema

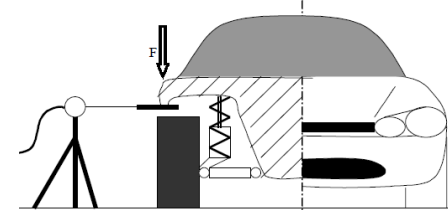
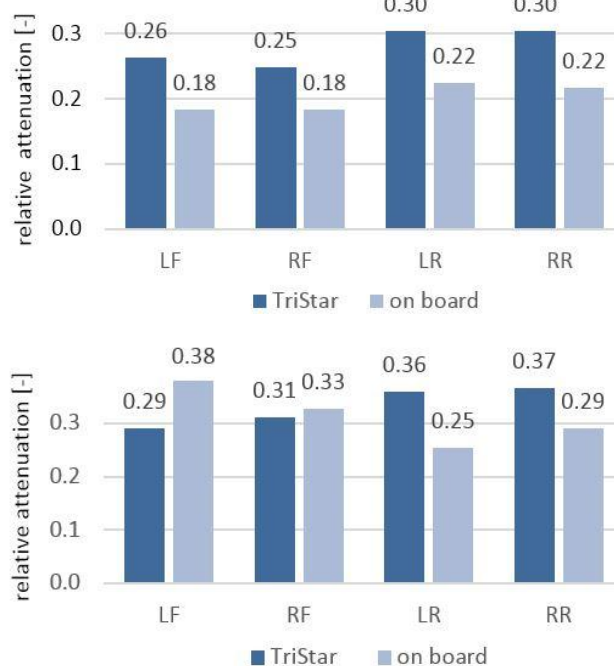


Standardized derivation

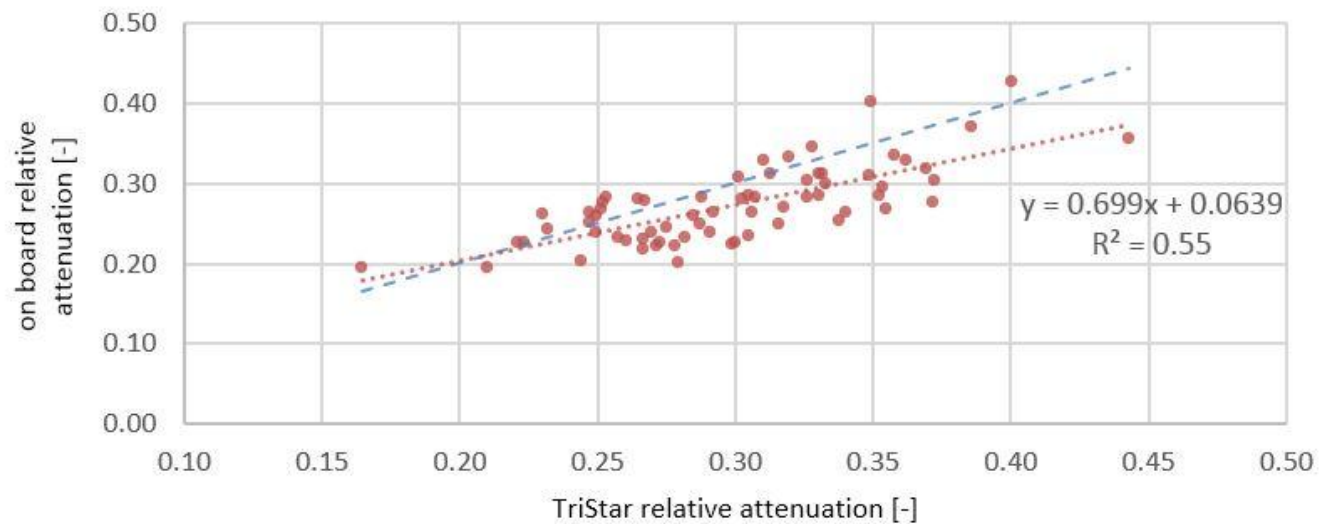
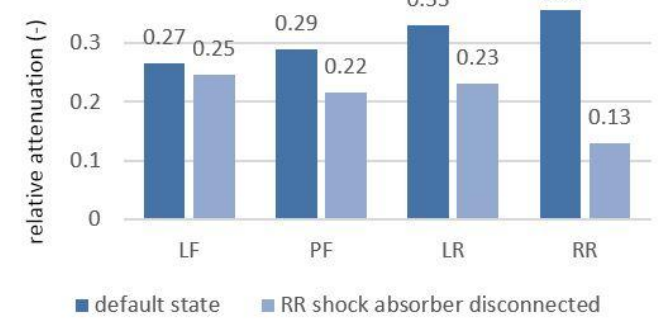
RESEARCH ACTIVITIES

TACR Epsilon – Electronic car suspension tester

- 65 vehicles



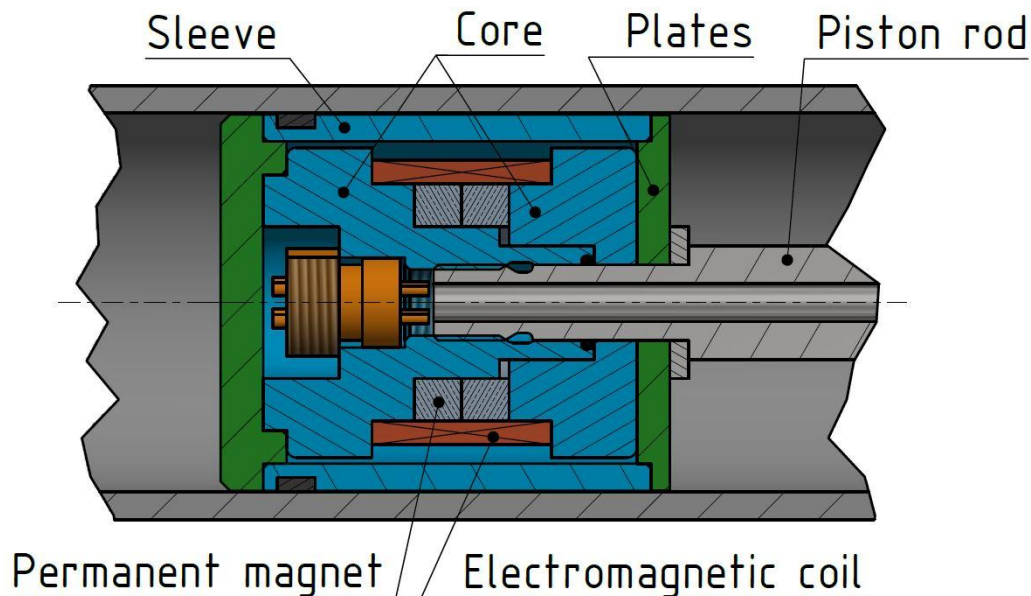
TriStar shock tester measurement



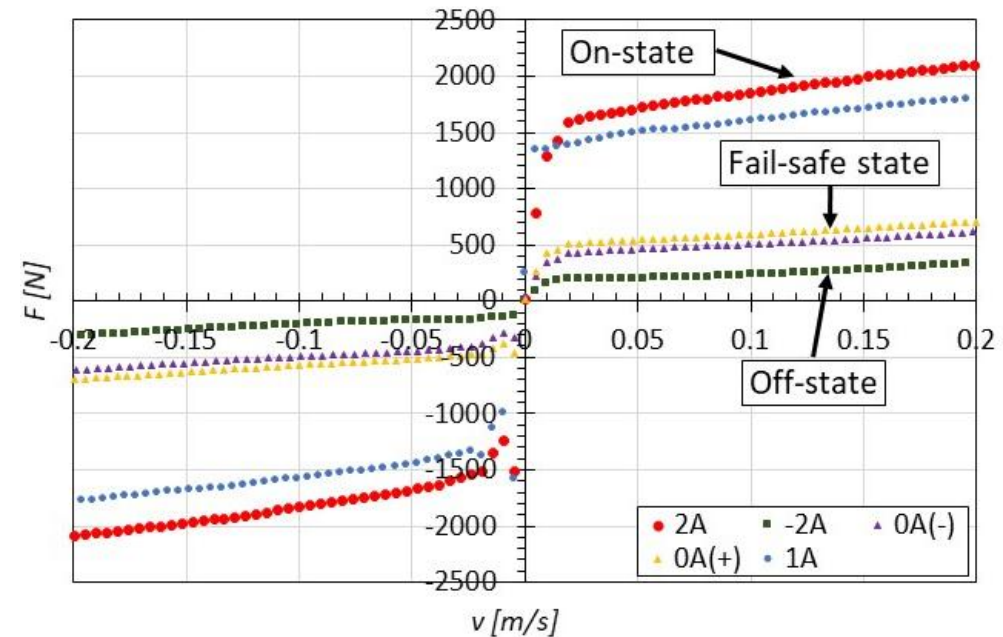
RESEARCH ACTIVITIES

SV 2020 – Failsafe MR damper

- permanent magnet



Schema of failsafe MR damper

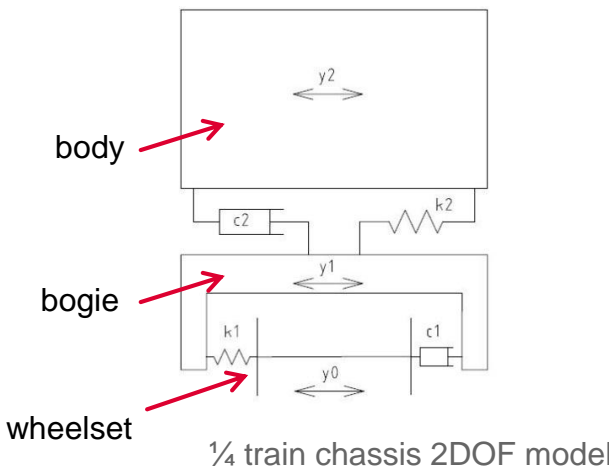


F-v characteristics of failsafe MR damper

RESEARCH ACTIVITIES

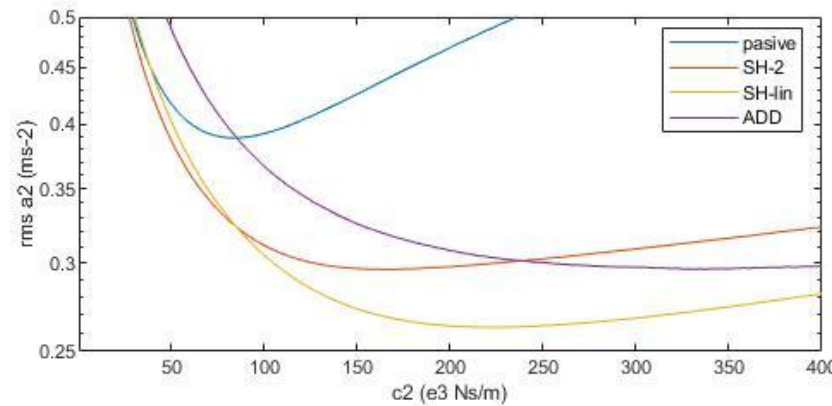
FV 2020 – Semi-actively controled damper in HIL simulation

- lateral oscilation of train body
- RCP, dSpace + Inova
- 33 % vibration reduction
- 2.5x higher damper force



$$c_2 = \begin{cases} c_{2max} & \text{if } \dot{y}_2 \cdot (\dot{y}_2 - \dot{y}_1) > 0 \\ c_{2min} & \text{if } \dot{y}_2 \cdot (\dot{y}_2 - \dot{y}_1) \leq 0 \end{cases}$$

$$c_2 = \begin{cases} \text{sat}\left(\frac{\alpha \cdot c_{2max} \cdot (\dot{y}_2 - \dot{y}_1) + (1 - \alpha) \cdot c_{2max} \cdot \dot{y}_2}{(\dot{y}_2 - \dot{y}_1)}\right) & \text{if } \dot{y}_2 \cdot (\dot{y}_2 - \dot{y}_1) > 0 \\ c_{min} & \text{if } \dot{y}_2 \cdot (\dot{y}_2 - \dot{y}_1) \leq 0 \end{cases}$$



body acceleration RMS dependence
on damper coefficient (active state)

SH-2

SH-lin

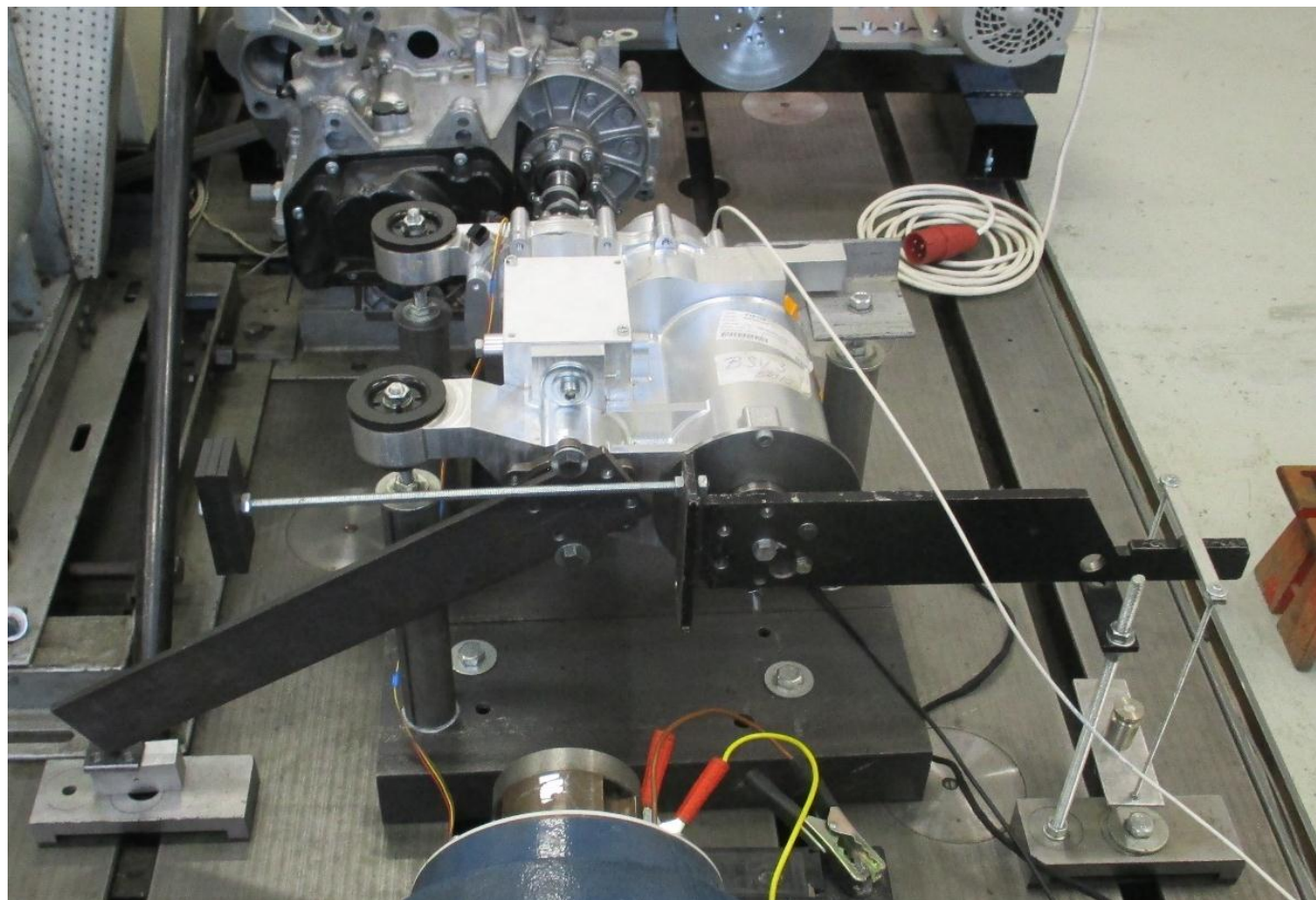


Pulzátor INOVA
www.ustavkonstruovani.cz

OTHER ACTIVITIES

HS – Škoda Auto

- new gearbox for hybrid car
- gear engage and disengage tests
- DC motor **x** electromagnet

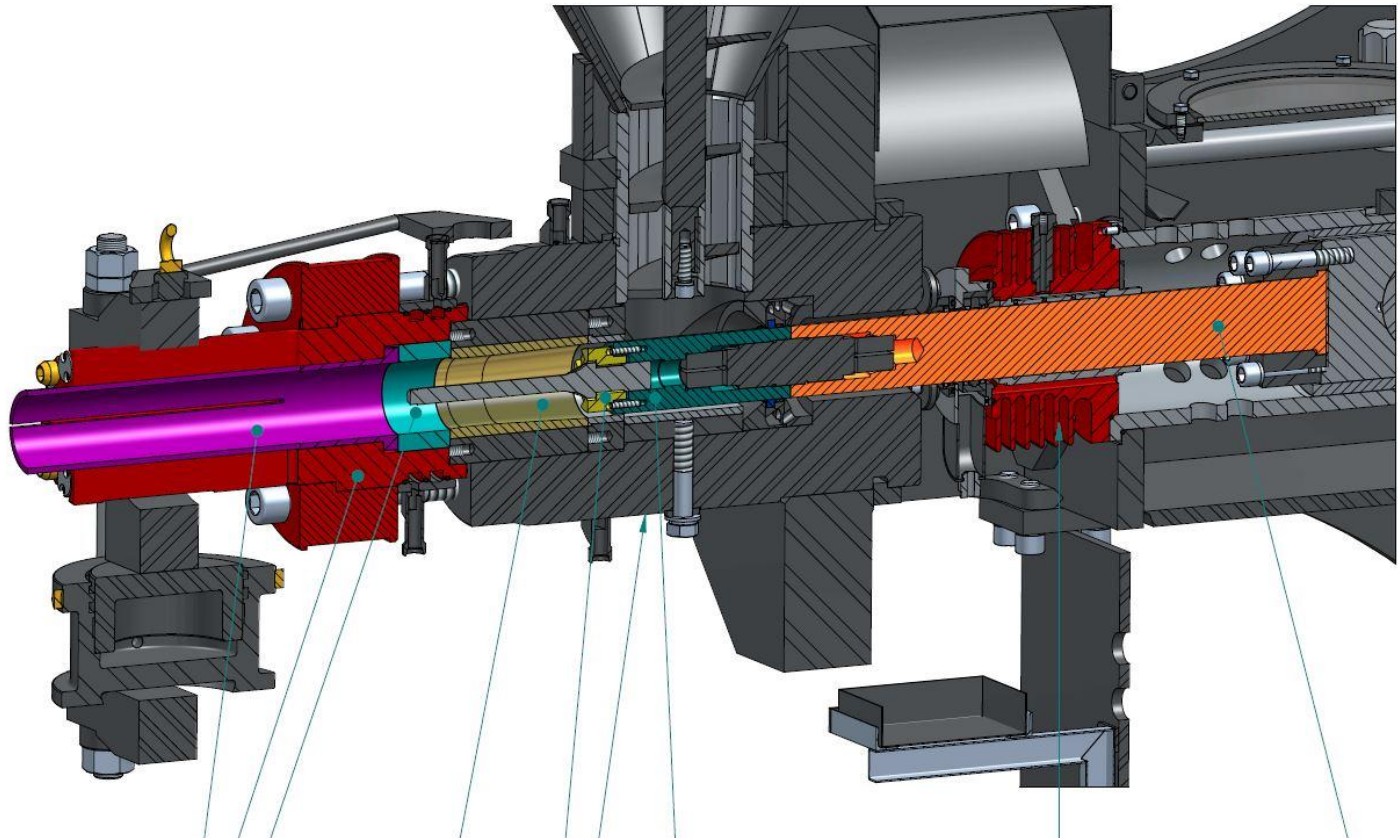


Škoda gearbox on test stand

OTHER ACTIVITIES

Briquete machine

- prof. Píštěk
- structural calculation
of some parts



Schema on briquette machine

OTHER ACTIVITIES

NAWA - EMMAT

- International Workshop for EMMAT consortium partners in Brno



Politechnika Krakowska
Im. Tadeusza Kościuszki



UNIVERSITATEA
TEHNICĂ
DIN CLUJ-NAPOCA



INSTITUTO POLITÉCNICO
DE BRAGANÇA



OTHER ACTIVITIES

Pneumobile

- 0ZP(3x), ZIP(1x), ZKP(1x), BP (1x)
- promotional events, operability
- cooperation with Bc. students



Pneumobile team

ACTIVITIES AT IMID 2018-2020



PhDr. Ivan Bartoš PhD. in pneumobile



Pneumobile in VW Caravelle

PUBLICATION AND PRODUCTS

- JENIŠ, F.; ROUPEC, J.; ŽÁČEK, J.; KUBÍK, M.; MACHÁČEK, O.; SMILEK, J.; SMILKOVÁ, M.; MAZŮREK, I. *Abrasion of Magnetorheological Fluids.* In Engineering Mechanics 2019, 25th International Conference. Praha: Institute of Thermomechanics of the Czech Academy of Sciences, 2019. s. 169-172. ISBN: 978-80-87012-71-0. (**Svratka**)
- KUBÍK, M.; ROUPEC, J.; JENIŠ, F.; MAZŮREK, I. *The settings of CFD model with magnetorheological fluid and its influence on the results.* In Engineering Mechanics 2019, 25th International Conference. Praha: Institute of Thermomechanics of the Czech Academy of Sciences, 2019. s. 223-226. ISBN: 978-80-87012-71-0. (**Svratka**)
- JENIS, F.; MAZUREK, I. *Mechatronicaly controlled bogie of high speed train.* CONFERENCE PROCEEDINGS 60th International Conference of Machine Design Departments. Brno Universti of Technology, 2019. (**ICMD**)
- JENIS, F.; STRECKER, Z.; MAZUREK, I. *A new method for on-board car suspension testing.* (**Svratka – send**)
- JENIS, F.; MAZUREK, I. *Sprung mass positioning by semi-actively controlled damper.* (**MATBUD Krakow – send**)

- JENIŠ, F.; MAZŮREK, I.: Overcross 7D; *Simulační model dynamické struktury podvozku vozidla při přejezdovém testu.* místořnost B1/111 ÚSTAV KONSTRUOVÁNÍ Fakulta strojního inženýrství Vysoké učení technické v Brně Technická 2896/2. URL: http://pom.uk.fme.vutbr.cz/pdf_projekt.php?id=372. (**software**)
- MAZŮREK, I.; JENIŠ, F.; SKUHRAVÝ, P.: Prah; *Univerzální přejezdová překážka.* místořnost B1/111 ÚSTAV KONSTRUOVÁNÍ Fakulta strojního inženýrství Vysoké učení technické v Brně Technická 2896/2. URL: http://pom.uk.fme.vutbr.cz/pdf_projekt.php?id=376. (**funkční vzorek**)
- MAZŮREK, I.; JENIŠ, F.; SKUHRAVÝ, P.: RBox; *Inerciální jednotka pro snímání pohybu karoserie.* místořnost B1/111 ÚSTAV KONSTRUOVÁNÍ Fakulta strojního inženýrství Vysoké učení technické v Brně Technická 2896/2. URL: <http://intranet.ustavkonstruovani.cz/file-download/get-project-pdf/392>. (**funkční vzorek**)
- JENIŠ, F.; MAZŮREK, I.; SKUHRAVÝ, P.: ControlBox; *Řídící a analytický program přejezdového testeru.* místořnost B1/111 ÚSTAV KONSTRUOVÁNÍ Fakulta strojního inženýrství Vysoké učení technické v Brně Technická 2896/2. URL: <http://intranet.ustavkonstruovani.cz/file-download/get-project-pdf/393>. (**software**)

TEACHING

■ 3CD (2017) CAD

- 1K Fundamentals of Machine Design
- ZKP (5x) Team Project
- 0ZP (od 2017) Aventics Pneumobile Racing

■ 2K Machine design

■ ZIP (1x) Mechanical Design Project

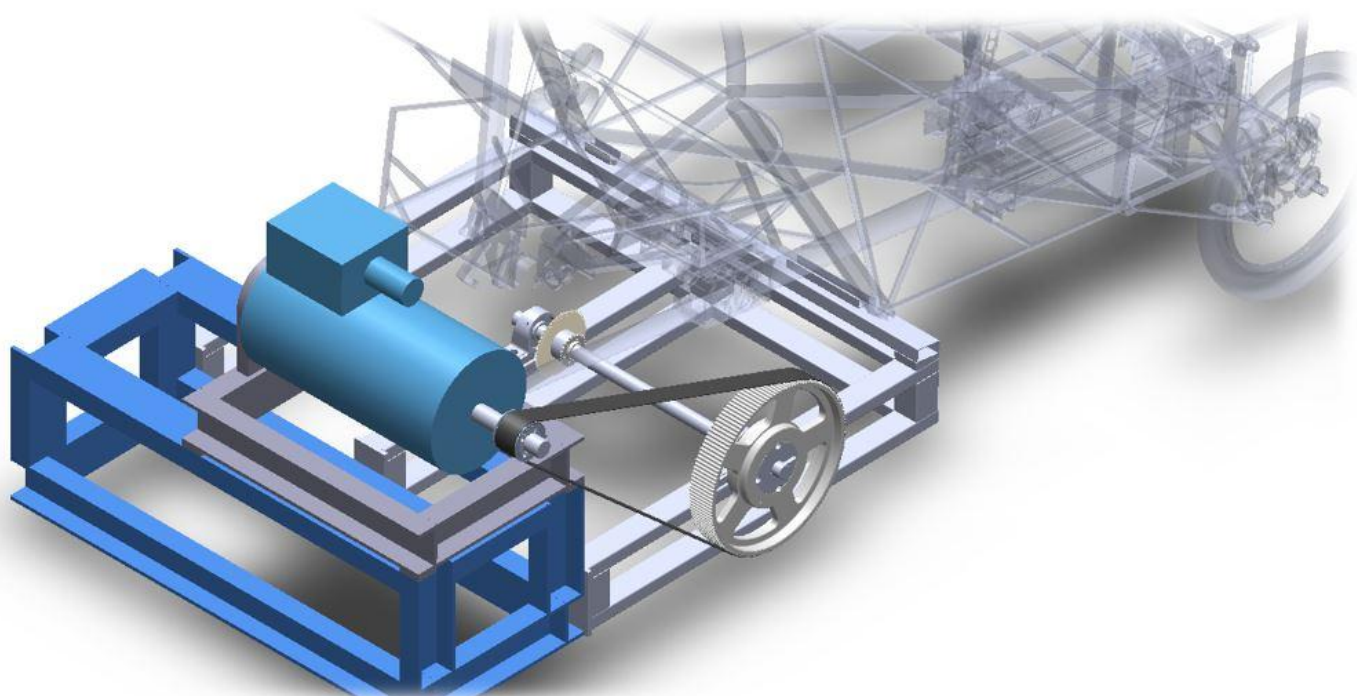
■ QEM Experimental Methods

- BP (1x)

TEACHING

BP – Pneumobile dynamotester desing

- redesign of educational dynamo tester
- Matyáš Fritscher



Concept of pneumobile dynamotester

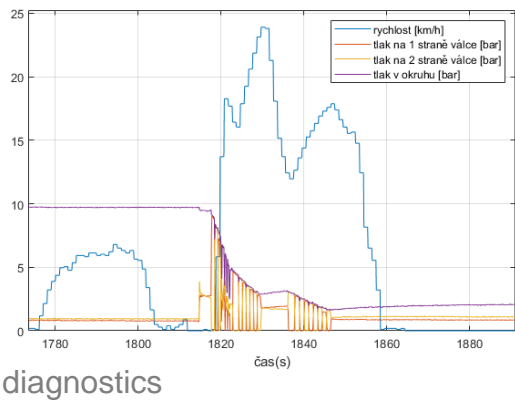


Educational dynamotester

TEACHING

OZP

- pneumobile acquaintance – 1 week
- pneumatic systems (SMC) – 4 weeks
- SolidWorks – 3 weeks
- FEM basics – 1 week
- racing car construction
(doc. Mazůrek) – 1 week
- arduino (Dr. Strecker) – 1 week
- pneumobile diagnostics – 1 week



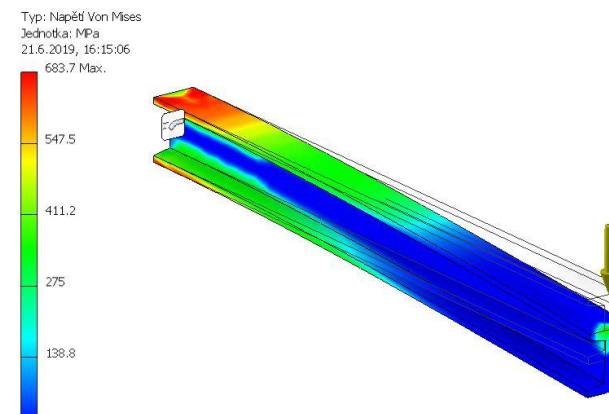
ACTIVITIES AT IMID 2018-2020



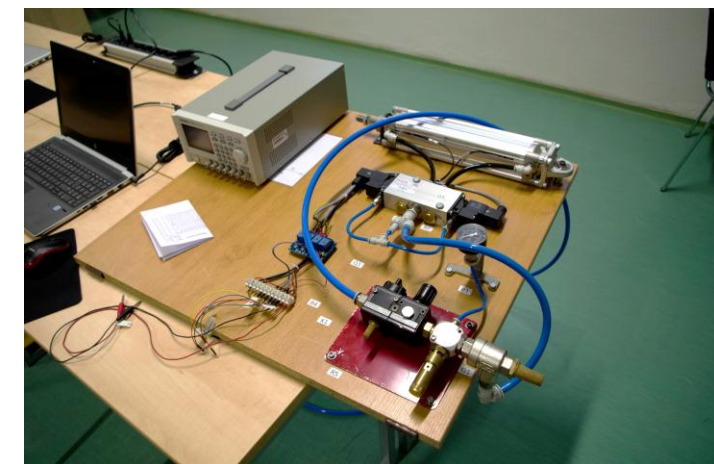
SMC – pneumatic systems



SolidWorks



FEM



Arduino

TEACHING

Feedback

Odpovědi S vyučujícím jsem byl spokojen.

Odpovědi Vše v pořádku, zasloužil by zvednout plat.

Odpovědi Milý učitel, který rád pomůže nebo poradí.

Podle mě je pan Jeniš jeden z nejlepších cvičících na 1K, byl fajn.

Thanks for your attention

Filip Jeniš, Ing.

Filip.Jenis@vutbr.cz